

آنتن موج سطحی انحنای پذیر با الگوی دوجهته نامتقارن

عیسی مزرعه فرد^۱، ذاکر حسین فیروزه^{۲*}، حامد خیام نکوبی^۳

۱ و ۳- کارشناسی ارشد، دانشکده مهندسی برق و کامپیوتر، دانشگاه صنعتی اصفهان،

۲- استادیار، دانشکده مهندسی برق و کامپیوتر، دانشگاه صنعتی اصفهان

(تاریخ دریافت: ۱۱/۰۳/۹۴، تاریخ پذیرش: ۰۶/۰۳/۹۴)

چکیده: در این مقاله، آنتن موج سطحی انحنای پذیر با الگوی دوجهته نامتقارن با نیمرخ باریک ارائه شده است. در این آنتن بهمنظور هدایت امواج سطحی در راستای مطلوب، پچ‌های مربعی شکل روی لایه دی‌الکتریک منحنی با رگ‌داری شده است. با تحریک پچ دایروی که در داخل لایه دی‌الکتریک قرار دارد امواج سطحی منتشر شده و پراکنده‌گی ناشی از آن‌ها در لبه‌ها، الگوی دوجهته ایجاد می‌کند. آنتن موج سطحی انحنای پذیر با دلیل نیمرخ باریک و قابلیت جاسازی بالا می‌تواند در تله‌متري کاربرد وسیعی داشته باشد. آنتن پیشنهادی در فرکانس ۵.۸ GHz با نرم‌افزار تجاری CST طراحی و شبیه‌سازی گردید و به ترتیب دارای پهنای باند و بهره ۷٪ و ۸ dB می‌باشد.

واژه‌های کلیدی: آنتن موج سطحی، ساختارهای متناوب، الگوی معکوس، الگوی دوجهته نامتقارن

باعث حذف انتشار امواج سطحی در امتداد $y \pm$ می‌شود. پچ‌های متناوب در وسط ساختار، انتشار امواج سطحی در امتداد x را \pm پشتیبانی می‌کنند؛ بنابراین امواج سطحی شدیدی در امتداد x را منتشر شده که با برخورد به لبه صفحه زمین، پراکنده می‌شوند. تابش برگشتی از لبه‌های مقابل، یکدیگر را خنثی کرده و در $=0$ یک Null و الگوی دوجهته ایجاد می‌گردد. برای رسیدن به الگوی نامتقارن کافی است پچ با تغذیه مرکزی در امتداد $x \pm$ جایه‌جا شود. در پایان، آنتن بر روی یک استوانه ۳۰ cm قطر گرفته و تاثیر انحنا در عملکرد آنتن شبیه‌سازی می‌شود. آنتن مذکور دارای الگوی شبیه به الگوی آنتن اف معکوس سیمی اما دارای حجم کم و تطابق آبرودینامیکی با بدنه می‌باشد. به عبارت دیگر، CSWA می‌تواند معایب WIFA را بطرف کند. آنتن موج سطحی انحنای پذیر پیشنهاد شده کاربرد وسیعی در تله‌متري دارد. در این مقاله، ابتدا صفحه زمین مصنوعی به طور مفصل مورد مطالعه قرار گرفته و سپس مکانیزم تشعشع آنتن انحنای پذیر در فرکانس ۵.۸ GHz با نرم‌افزار CST تحلیل و بررسی خواهد شد.

۲- امواج سطحی در زیرلایه عایقی با پچ‌های متناوب و در ساختار EBG

در مطالعات محققان، لایه نازک با رگ‌داری شده با پچ‌های متناوب

۱- مقدمه

آنتن‌های اف معکوس سیمی (WIFAs)^۱ اغلب به دلیل الگوی دوجهته نامتقارن برای تله‌متري در هوایم‌های بدون سرنوشنی استفاده می‌شوند [۱]. اما این آنتن‌ها مانند سایر آنتن‌های سیمی معایبی نظری عدم تطابق آبرودینامیکی و دمای بالا روی بدنه هوایم دارند [۲]. جهت برطرف کردن این معایب از آنتن‌های مسطح مانند آنتن موج سطحی با حجم کم (SWA)^۲ [۳-۸] و باند توافق الکترومغناطیسی (EBG)^۳ [۹-۱۲] استفاده می‌شود.

آنتن‌های انحنای پذیر [۱۳-۱۸]^۴ به دلیل قابلیت قرارگیری روی سطوح منحنی کاربرد وسیعی دارند. در این مقاله، آنتن موج سطحی انحنای پذیر جدیدی (CSWA)^۵ با الگوی دوجهته نامتقارن بر اساس آنتن موج سطحی SWA و ساختار باند توافق الکترومغناطیسی (EBG) ارائه شده است. آنتن SWA شامل دو بخش است؛ یکی پچ با تغذیه مرکزی برای تحریک امواج سطحی و دیگری لایه دی‌الکتریک نازک با رگ‌داری شده با پچ‌های متناوب جهت پشتیبانی از انتشار امواج سطحی است. ساختار EBG را می‌توان با اضافه کردن Via در دو سمت کناری پچ‌های متناوب، مطابق شکل (۱) ایجاد کرد که

* ایمیل نویسنده پاسخگو: zhfirouzeh@cc.iut.ac.ir

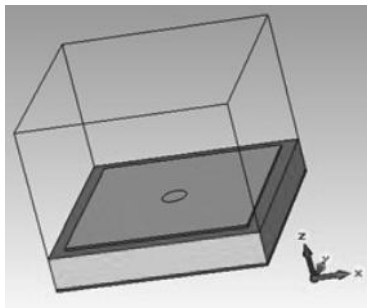
1- Wire inverted F antennas

2- Surface wave antenna

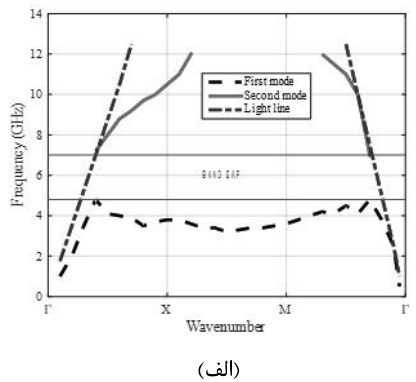
3- Electromagnetic band gap

4- Conformal surface wave antenna

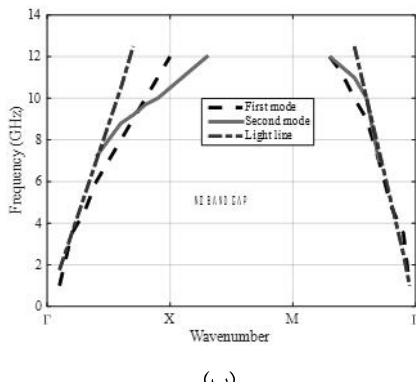
ساختار مذکور با هم ترکیب شده و صفحه زمین مصنوعی جدیدی مطابق شکل (۱) به دست آمده است. چهار ردیف از پچ‌های متناسب جهت انتشار امواج سطحی در وسط (در امتداد محور x) و دو ردیف EBG، در دو سمت کناری (در امتداد محور y)، جهت حذف امواج سطحی ایجاد شده است. به طور خلاصه، در صفحه زمین مصنوعی ارائه شده، امواج سطحی تقریباً فقط در امتداد یک راستا (در امتداد محور x) می‌توانند منتشر شوند.



شکل ۲: سلول واحد ساختار EBG در نرم افزار CST



(الف)

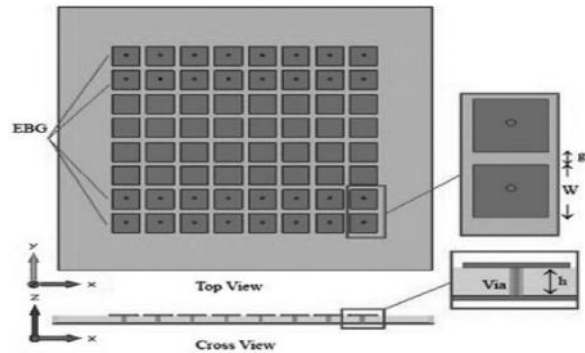


(ب)

شکل ۳: نمودار پاشندگی دو زمین مصنوعی (الف) ساختار EBG قارچی

(ب) ساختار قارچی شکل بدون Via

و ساختارهای EBG، به طور جداگانه مورد بحث قرار گرفته است [۲] یکی از ویژگی‌های منحصر به فرد آن تن پیشنهادی ترکیب این دو ساختار با هم و ایجاد صفحه زمین مصنوعی جدید برای هدایت امواج سطحی در امتداد یک راستا ($\pm x$) می‌باشد. زمین مصنوعی پیشنهادی در شکل (۱) مشاهده می‌شود.



شکل ۱: صفحه زمین مصنوعی جدید

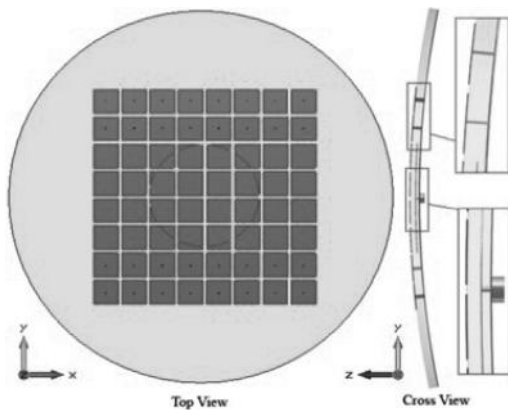
بعاد ساختار متناسب مربوط به شکل (۱)، برای کاربرد مورد نظر به صورت زیر پیشنهاد می‌شود [۳]:

$$w=7.4\text{mm}, g=1.2\text{mm}, h=2.7\text{mm}, r=0.5\text{mm}, \epsilon_r=2.94 \quad (1)$$

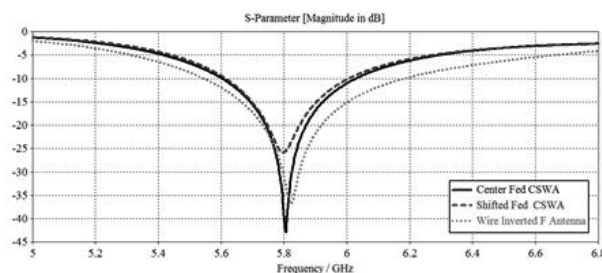
که در آن w عرض پچ مربعی، g فاصله بین پچ‌ها، h ضخامت لایه دی‌الکتریک، r شعاع Via و ϵ_r ثابت عایقی می‌باشد. مطابق شکل (۲)، به کمک نرم افزار CST و با تعریف شرط مرزی متناسب در جهت x و y ، نمودار پاشندگی سطح مصنوعی متناسب با و بدون Via، مطابق شکل (۳) رسم شده است. در این شکل محور عمودی نشان‌دهنده فرکانس و محور افقی نشان‌دهنده عدد موج عرضی (k_x, k_y) است. همان‌طور که در شکل مشاهده می‌شود، برای ساختار EBG موج سطحی بین ۵ GHz و ۷ GHz حذف شده است، در حالی که برای لایه دی‌الکتریک بازگذاری شده با پچ‌های متناسب، به دلیل حذف Via، مدل اول موج سطحی در محدوده فرکانسی مذکور قابلیت انتشار دارد.

در شکل (۴) نمودار فاز بازتابی ساختار EBG قارچی شکل و ساختار بدون Via مقایسه شده‌اند. فاز بازتابی دو ساختار به طور پیوسته از ۱۸۰ تا ۱۸۰ درجه به طور تقریباً یکسان تغییر کرده است. واضح است که حذف Via اثر اندکی روی فاز بازتابی ساختار داشته است. فاز بازتابی صفر درجه در فرکانس ۷ GHz و فاز بازتابی ۹۰ درجه در فرکانس ۶ GHz حاصل می‌شود.

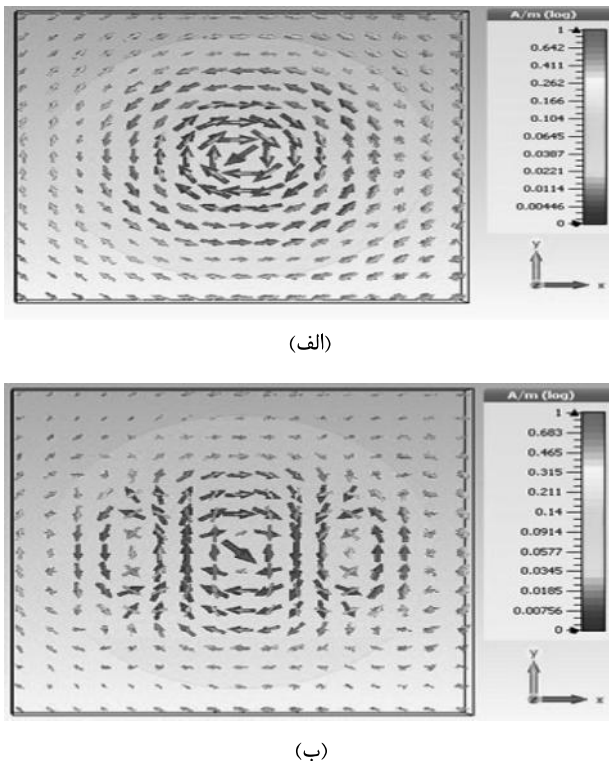
به طور خلاصه، ساختار در حضور و عدم حضور Via فاز بازتابی مشابهی دارد اما در عدم حضور Via، باند توقف حذف شده و در نتیجه امواج سطحی می‌توانند در این ساختار منتشر شوند. دو



شکل ۵: آنتن موج سطحی انحنای پذیر (CSWA) با تغذیه مرکزی

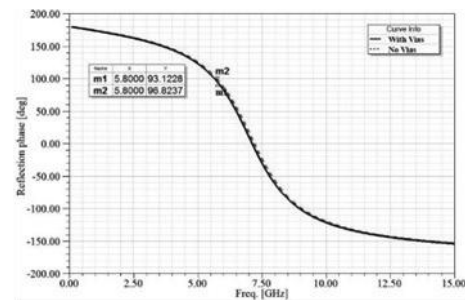


شکل ۶: ضریب انعکاس آنتن CSWA با تغذیه مرکزی و شیفت یافته و آنتن اف معکوس سیمی (WIFA)



شکل ۷: جریان سطحی آنتن با تغذیه مرکزی در صفحه xy

(الف) بدون Via (ب) با Via

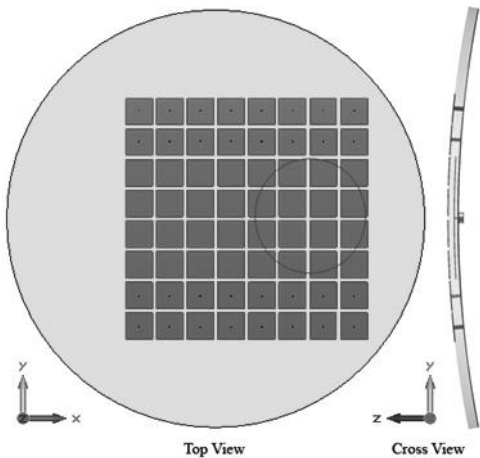
شکل ۸: نمودار فاز بازتابی ساختار EBG قارچی شکل و ساختار قارچی
شکل بدون Via

۳- آنتن موج سطحی انحنای پذیر با زمین مصنوعی جدید

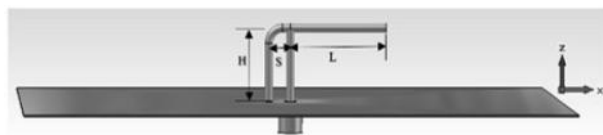
در این بخش، جهت طراحی آنتن موج سطحی انحنای پذیر از زمین مصنوعی جدید استفاده شده است. این آنتن شامل دو بخش است، یکی پچ با تغذیه مرکزی برای تحریک امواج سطحی و دیگری لایه دی الکتریک نازک بارگذاری شده با 8×8 پچ متناوب جهت پشتیبانی از انتشار امواج سطحی است. شعاع صفحه زمین 58.5 mm است و پچ تحریک دایره‌ای است به شعاع 16.7 mm که ارتفاع آن از زمین 1 mm می‌باشد. ابعاد پچ‌های متناوب و جنس لایه دی الکتریک مطابق معادله (۱) است.

مطابق شکل (۵)، انحنای آنتن منطبق بر استوانه‌ای به شعاع 30 cm است. مطابق شکل (۶) آنتن طوری بهینه شده است که میزان تلفات برگشتی در فرکانس 5.8 GHz ، بیش از 40 dB است. با تغذیه پچ دایروی به کمک کابل کواکسیال 50Ω ، 50 امواج سطحی داخل زمین مصنوعی تحریک می‌شوند و به دلیل وجود ساختار EBG در دو طرف محور z ، انتشار امواج سطحی در امتداد $x \pm z$ تا حد زیادی حذف می‌شود. در نتیجه، امواج سطحی تنها در امتداد $x \pm z$ منتشر خواهند شد. این استدلال در شکل (۷) که جریان سطحی آنتن در دو حالت قبل (۷-الف) و بعد از اضافه کردن (۷-ب) Via را نشان می‌دهد به روشنی قابل مشاهده است.

بنابرین امواج سطحی شدیدی در امتداد $x \pm z$ منتشر شده و با برخورد این امواج به مرز صفحه زمین پراکنده شده و موج برگشتی از لبه‌های مقابل، یکدیگر را خنثی کرده و در نتیجه در $\theta = 0^\circ$ ، یک نول Null به وجود می‌آید. به این ترتیب الگوی دووجهیه نامتقارن با بهره $9/4 \text{ dB}$ مطابق شکل (۸) و شکل (۹-ب) حاصل می‌شود.



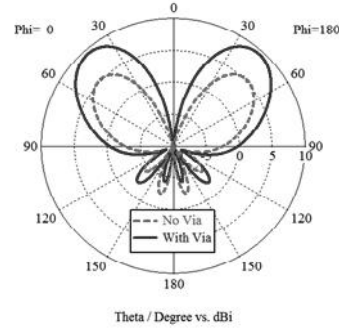
شکل ۱۰: آنتن موج سطحی انحنایزدیر (CSWA) با تغذیه شیفت یافته



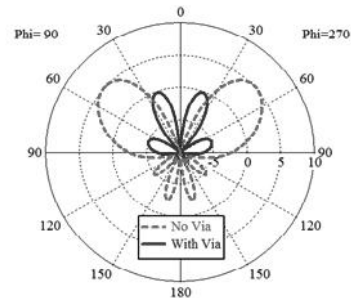
شکل ۱۱: ساختار آنتن اف معکوس سیمی (WIFA)

بهمنظور مشاهده اثر via، الگوی دو بعدی آنتن موج سطحی انحنایزدیر با تغذیه مرکزی در حضور و عدم حضور via رسم شده و در شکل (۸) قابل مشاهده است. در این شکل مشاهده می شود با اضافه کردن via، بهره صفحه XZ به اندازه ۵ dB افزایش و بهره صفحه yz via بهاندازه ۵ dB کاهش می باید و الگوی دوجهته به دست می آید. همچنانی بهمنظور مشاهده الگوی آنتن در سایر صفحات، الگوی سه بعدی آنتن با تغذیه مرکزی در دو حالت با و بدون via، در شکل (۹) آمده است. همان طور که در این شکل مشاهده می شود قبل از اضافه کردن via، الگو همه جهتی بوده ولی با اضافه کردن via، الگوی دوجهته متقاضن به دست می آید.

جهت رسیدن به الگوی دوجهته نامتقاضن، پچهای متناوب و پج تغذیه به ترتیب ۱۰ mm و ۲۵ mm مطابق شکل (۱۰) در جهت $x \pm$ نسبت به مرکز دایره جایه جا شده اند در نتیجه امواج سطحی در امتداد x منتشر و با برخورد به لبه صفحه زمین، پراکنده شده و الگوی نامتقاضن دو جهتی، مطابق شکل (۱۲) به دست می آید. همان طور که در این شکل قابل مشاهده است الگوی آنتن، نامتقاضن و دوجهته است که Null عمیقی در $\theta = 0^\circ$ دارد، بیشینه بهره آن در $\theta = 50^\circ$ ، 0° می باشد و اختلاف دو لوب در صفحه xz، 1.6 dB است. بهمنظور مقایسه الگوی این آنتن با آنتن WIFA، الگوی آنتن WIFA که ساختار آن در شکل (۱۱) آمده است، شبیه سازی شده و نتایج آن نیز در شکل (۱۲) ارائه شده است. مطابق این مقایسه، بهره

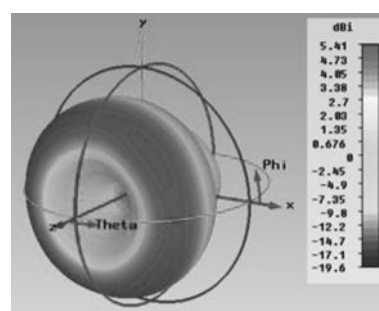


(الف)

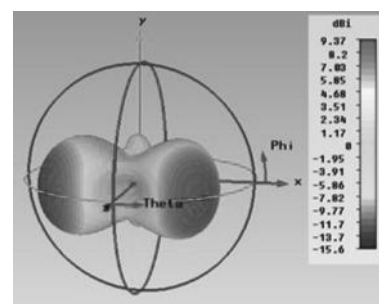


(ب)

شکل ۸: الگوی دو بعدی آنتن موج سطحی انحنایزدیر با تغذیه مرکزی در حضور و عدم حضور via: (الف) صفحه XZ (ب) صفحه yz

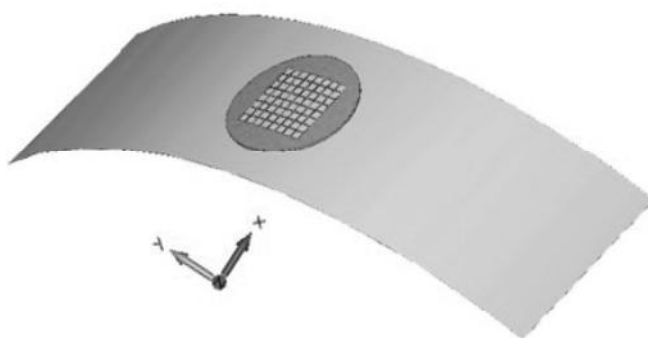


(الف)

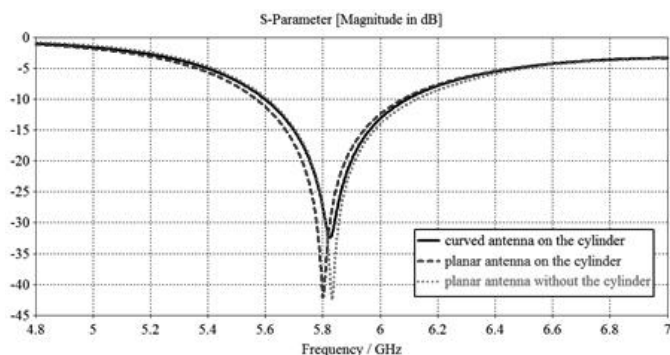


(ب)

شکل ۹: الگوی سه بعدی موج سطحی انحنایزدیر با تغذیه مرکزی: (الف) بدون via (ب) با via



شکل ۱۳: آنتن موج سطحی انحنایزیر روی قسمتی از استوانه هادی

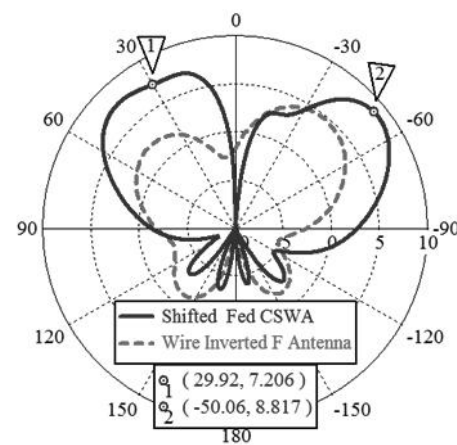


شکل ۱۴: ضریب انعکاس آنتن در سه حالت: (۱) آنتن مسطح (۲) آنتن مسطح روی استوانه (۳) آنتن انحنایزیر منطبق بر استوانه

آنتن پیشنهادی در صفحه مورد نظر (صفحة xz) به اندازه $8/3$ dB نسبت به بهره آنتن WIFA افزایش می یابد. مطابق شکل (۶)، این دو آنتن نیز در فرکانس $5/8$ GHz، با تلفات برگشتی بیش از 25 dB آندز رزونانس می کنند. ابعاد آنتن WIFA که در شکل (۱۱) آمده است به صورت زیر است:

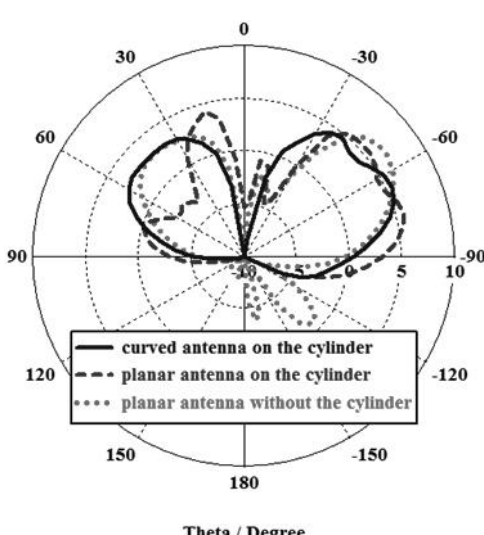
$$H = 5.5 \text{ mm}, S = 1.7 \text{ mm}, L = 7.7 \text{ mm}, \quad (۲)$$

و صفحه زمین آن مربعی به ضلع 43 mm و از جنس PEC است.



Theta / Degree vs. dBi

(الف)



Theta / Degree vs. dBi

(ب)

شکل ۱۵: الگوی آنتن در صفحه XZ در سه حالت: (۱) آنتن مسطح (۲) آنتن مسطح روی استوانه (۳) آنتن انحنایزیر منطبق بر استوانه

شیفت یافته و آنتن اف معکوس سیمی (WIFA) با تغذیه

(الف) صفحه XZ (ب) صفحه YZ

شکل ۱۶: الگوی آنتن موج سطحی انحنایزیر (CSWA) با تغذیه

- [2] B. R. Mothlabane and D. Gray, "TE-monopole radiation pattern DRA for UAVs," *Antennas and Propagation (ISAP), International Symposium on*, pp. 499–502, Nov. 2012.
- [3] F. Yang, A. Aminian, and Y. Rahmat-Samii, "A novel surface-wave antenna design using a thin periodically loaded ground plane," *Microw. Opt. Technol. Lett.*, vol. 47, pp. 240–245, Nov. 2005.
- [4] F. Yang, Y. Rahmat-Samii, A. Kishk, "Low-profile patch-fed surface wave antenna with a monopole-like radiation pattern," *Microwaves, Antennas & Propagation, IET*, vol. 1, pp. 261–266, Feb. 2007.
- [5] A. Al-Zoubi, F. Yang, and A. Kishk, "A Low-Profile Dual-Band Surface Wave Antenna With a Monopole-Like Pattern," *Antennas and Propagation, IEEE Transactions on*, vol. 55, no. 12, pp. 3404–3412, Dec. 2007.
- [6] F. Yang, A. Aminian, and Y. Rahmat-Samii, "A low profile surface wave antenna equivalent to a vertical monopole antenna," *IEEE Antennas Propag. Soc. Symp.* 2004, vol. 2, 2004.
- [7] F. Yang, Y. Rahmat-Samii, and A. Kishk, "A novel surface wave antenna with a monopole type pattern: A thin periodically loaded slab excited by a circular disk," in *IEEE Antennas and Propagation Society, AP-S International Symposium (Digest)*, vol. 1A, pp. 742–745, 2005.
- [8] F. Y. F. Yang, A. Al-Zoubi, and A. Kishk, "A Dual Band Surface Wave Antenna with a Monopole Like Pattern," *2006 IEEE Antennas Propag. Soc. Int. Symp.*, 2006.
- [9] D. Sievenpiper, L. Zhang, R. F. J. Broas, N. G. Alexopolous, and E. Yablonovitch, "High-impedance electromagnetic surfaces with a forbidden frequency band," *IEEE Transactions on Microwave Theory & Techniques*, vol. 47, no. 11, pp. 2059–2074, Nov. 1999.
- [10] F. Yang and Y. Rahmat-Samii, "Electromagnetic Band Gap Structures in Antenna Engineering," Cambridge University Press, Cambridge, UK, 2009.
- [11] C. R. Simovski, P. D. Maagt, and I. V. Melchakova, "High-impedance surfaces having stable resonance with respect to polarization and incidence angle," *IEEE Trans. Antennas Propag.*, vol. 53, pp. 908–914, 2005.
- [12] H. Mosallaei and Y. Rahmat-Samii, "Periodic bandgap and effective dielectric materials in electromagnetics: Characterization and applications in nanocavities and waveguides," *IEEE Trans. Antennas Propag.*, vol. 51, pp. 549–563, 2003.(In Persian)

۴- اثر سطوح فلزی انحنایپذیر روی مشخصات آنتن موج سطحی

آنتن‌ها معمولاً روی سطوح فلزی مانند بدنه هواپیما مطابق شکل (۱۳) نصب می‌شوند، این امر مشخصات آنتن مانند الگو را تحت تاثیر قرار می‌دهد. بنابرین بهتر است اثر آن در شبیه‌سازی در نظر گرفته شود تا مشخصات مطلوب به دست آید. در اینجا اثر بخش بزرگی از استوانه هادی، روی مشخصات آنتن موج سطحی برسی می‌شود. به این منظور مشخصات آنتن در سه حالت: (۱) آنتن مسطح (۲) آنتن مسطح روی استوانه (۳) آنتن انحنایپذیر منطبق بر استوانه برسی می‌شود. ضریب انعکاس این سه حالت در شکل (۱۴) آمده است. همان‌طور که مشاهده می‌شود میزان تلفات بازگشتی برای سه حالت در فرکانس مورد نظر بیش از ۲۵dB است. توجه شود که طول این قسمت از استوانه ۲۰ cm، کمان آن ۳۶ cm و شعاع آن ۳۰ cm می‌باشد. با توجه به شکل (۱۵)، وقتی آنتن مسطح روی استوانه قرار می‌گیرد الگو آن خراب شده و اعوجاج شدیدی پیدا می‌کند. حال اگر آنتن انحنایپذیر بر سطح استوانه منطبق شود، الگو آن به طور قابل ملاحظه‌ای بهبود می‌یابد.

۵- نتیجه‌گیری

در این مقاله آنتن موج سطحی انحنایپذیر با الگو دوچمه‌ته نامتقارن با نیمرخ باریک ارائه شد. این خاصیت با استفاده از زمین مصنوعی جدید به دست آمد. الگو این آنتن مشابه با الگو آنتن WIFA بوده و در فرکانس ۵,۸GHz، دارای بهره ۸,۸ dB و پهنای باند ٪۷ می‌باشد. برخلاف آنتن WIFA، آنتن پیشنهادی، دارای حجم کم، بهره بالا و تطابق آیرودینامیکی با بدنه است. در ضمن با انتطباق این آنتن بر روی سطح استوانه‌های هادی، الگو به صورت چشم‌گیری نسبت به آنتن مسطح بهبود می‌یابد. بنابراین این آنتن به دلیل دارا بودن نیمرخ باریک و قابلیت جاسازی بالا می‌تواند جایگزین مناسبی برای آنتن WIFA بوده و کاربرد وسیعی در تله‌متري داشته باشد.

قدرتانی

نویسنده‌گان از پژوهشکده اویونیک دانشگاه صنعتی اصفهان به دلیل حمایت از این پروژه تشرک و قدردانی می‌نمایند.

۶- مراجع

- [1] H. Nakano, Y. Asano, and J. Yamauchi, "A wire inverted F antenna on a finite-sized EBG material," *IEEE International Workshop on*, pp. 13–16, March 2005.

-
- [16] R. Zentner, Z. Sipus, N. Herscovici and J. Bartolic, "Omnidirectional stacked patch antenna printed on circular cylindrical structure," *Antennas and Propagation Society International Symposium*, 2002. IEEE, vol. 2, pp. 272-275, 2002.
 - [17] J. Ashkenazy, S. Shtrikman and D. Treves, "Electric surface current model for the analysis of microstrip antennas on cylindrical bodies," *Antennas and Propagation, IEEE Transactions on*, vol. 33, no. 3, pp. 295-300, Mar. 1985.
 - [18] G. Gottwald and W. Wiesbeck, "Radiation efficiency of conformal microstrip antennas on cylindrical surfaces," *Antennas and Propagation Society International Symposium*, 1995. AP-S. Digest , vol.4, no., pp.1780,1783 vol.4, 18-23 June 1995.
 - [13] Q. Jinghui, Z. Lingling, D. Hailong and L. Wei, "Analysis and simulation of cylindrical conformal omnidirectional antenna," *Microwave Conference Proceedings, 2005. APMC 2005. Asia-Pacific Conference Proceedings*, vol. 4, no 4, pp. 4-7, Dec. 2005.
 - [14] N. Herscovici, Z. Sipus and P.-S. Kildal, "The cylindrical omnidirectional patch antenna," *Antennas and Propagation, IEEE Transactions on*, vol. 49, no. 12, pp. 1746-1753, Dec. 2001.
 - [15] K. M. Luk and W. Y. Tam, "Patch antennas on a spherical body," *Microwaves, Antennas and Propagation, IEE Proceedings H*, vol. 138, no. 1, pp. 103-108, Feb. 1991.

A Conformal Surface-Wave Antenna with Bidirectional Asymmetric Radiation Pattern

I. Mazrae-Fard¹, Z. Hossein-Firouzeh^{*2}, H. Khayyam-Nekuee³

* Esfahan University of Technology

(Receive: 2014/09/14, Accept: 2015/08/25)

Abstract

A conformal surface wave antenna (CSWA) with a low profile configuration and a bidirectional asymmetric radiation pattern is proposed. Periodic square patches on a curved dielectric slab are used to support the propagation of the surface waves in the desired direction to obtain an asymmetric radiation pattern. The diffraction of surface waves at the edges of the ground plane generates a bidirectional radiation pattern. The antenna pattern is similar to that of wire inverted F antennas (WIFAs). However, It is low-profile, without aerodynamic drag and without high degree of electromagnetic coupling to the fuselage. In fact, the CSWA eliminates the disadvantages of WIFAs. The proposed conformal surface wave antenna exhibits a great potential for telemetry applications when a bidirectional asymmetric radiation pattern with a low-profile and conformal geometry is desired. The proposed antenna is simulated at 5.8 GHz with commercial CST software and the corresponding impedance bandwidth and gain are, respectively, 7% and 8.8 dBi.

Keywords: Surface wave antenna, Periodic structures, F-inverse antenna, bidirectional asymmetric radiation pattern

* Corresponding Author Email: zhfirouzeh@cc.iut.ac.ir